

SVEUČILIŠTE U ZAGREBU
FAKULTET ELEKTROTEHNIKE I RAČUNARSTVA

ZAVRŠNI RAD br. 5697

**Klasifikacija slika dubokim
konvolucijskim modelima s
rezidualnim vezama**

Antonio Borac

Zagreb, srpanj 2018.

Zagreb, 16. ožujka 2018.

ZAVRŠNI ZADATAK br. 5697

Pristupnik: **Antonio Borac (0036492829)**
Studij: Računarstvo
Modul: Računarska znanost

Zadatak: **Klasifikacija slika dubokim konvolucijskim modelima s rezidualnim vezama**

Opis zadatka:

Klasifikacija slika prirodnih scena je neriješen problem računalnog vida s mnogim zanimljivim primjenama. U posljednje vrijeme najbolji rezultati u tom području postižu se pristupima utemeljenima na dubokim konvolucijskim modelima. Za ovaj rad posebno su zanimljivi nadzirani pristupi gdje je svaka slika skupa za učenje označena semantičkim razredima objekata koje slika sadrži.


U okviru rada, potrebno je istražiti postojeće postupke za klasifikaciju slika. Proučiti dokumentacije programskih okvira Tensorflow i PyTorch te biblioteke programskog jezika Python za rukovanje matricama i slikama. Izraditi izvedbu programskog sustava za učenje i primjenu klasifikacijskog modela. Evaluirati utjecaj rezidualnih veza na točnost modela. Prikazati i ocijeniti ostvarene rezultate.

Radu priložiti izvorni i izvršni kod razvijenih postupaka, ispitne slijedove i rezultate, uz potrebna objašnjenja i dokumentaciju. Citirati korištenu literaturu i navesti dobivenu pomoć.

Zadatak uručen pristupniku: 16. ožujka 2018.

Rok za predaju rada: 15. lipnja 2018.

Mentor:



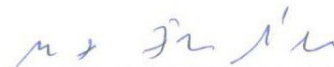
Prof. dr. sc. Siniša Šegvić

Djelovođa:



Doc. dr. sc. Tomislav Hrkać

Predsjednik odbora za
završni rad modula:



Prof. dr. sc. Siniša Srbljić

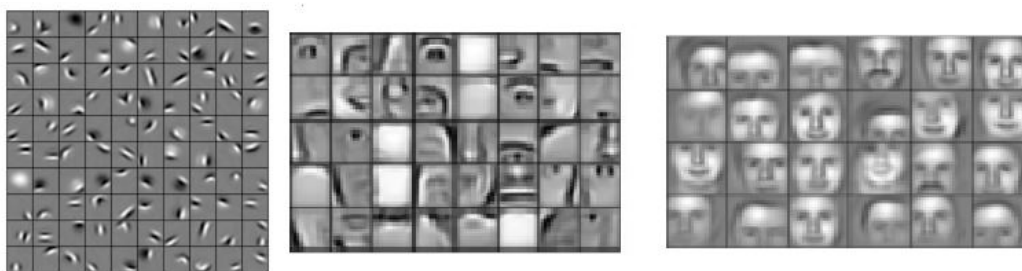
Zahvaljujem se svom mentoru prof.dr.sc Siniši Šegviću na velikoj pomoći pri izradi ovog rada i svojim roditeljima za podršku tijekom cijelog školovanja.

SADRŽAJ

1. Uvod	1
2. Duboko učenje	3
2.1. Konvolucijski modeli	3
2.1.1. Konvolucijski slojevi	3
2.1.2. Potpuno povezani slojevi	4
2.1.3. Sloj sažimanja	5
2.2. Duboki konvolucijski modeli sa rezidualnim vezama	5
3. Ispitni skupovi	7
3.1. Predobrada podataka	7
3.2. MNIST	7
3.3. CIFAR10	8
4. O Tensorflowu	10
5. Detalji implementacije	13
5.1. Arhitektura jednostavnog modela za klasifikaciju znamenki	13
5.2. Arhitektura plitkog modela za skup CIFAR10	13
5.3. Arhitektura dubokog rezidualnog modela za skup CIFAR10	14
5.4. Augmentacija podataka	20
5.5. Postupak učenja	20
6. Rezultati	23
7. Zaključak	26
Literatura	28
Popis slika	30

1. Uvod

Klasifikacija slika je jedan od najzanimljivih problema računalnog vida. Pokazuje se kao čest problem u svakodnevnoj primjeni kojeg bi željeli rješavati automatski. Razlika u svjetlini, položaju objekata unutar slike kao i orijentacija objekata unutar slike predstavljaju velike izazove u klasifikaciji koji otežavaju razvoj robusnih modela. Trenutno najzanimljiviji modeli koji veoma uspješno rješavaju probleme klasifikacije slika na ogromnim skupovima podataka poput Imagenet-a [6] su duboki konvolucijski modeli. Konvolucijski modeli su specifični po tome što samostalno uče prepoznavati značajke ulaznih podataka karakteristične za pojedine razrede koje omogućavaju preciznu klasifikaciju. Duboki konvolucijski modeli pretpostavljaju da se podaci mogu hijerarhijski razložiti na niz značajki - od temeljnih značajki poput rubova i linija, do kompliciranijih poput šarenice oka, boje kose ili u konačnici cijelog lica. Takav niz značajki u dubokom učenju učimo raspoznavati sa nizom slojeva - modeli koje razvijamo predstavljaju srž područja dubokog učenja. Za potrebe učenja i testiranja takvih modela



Slika 1.1: Niz hijerarhijskih značajki iz slike. Slika je preuzeta iz [2]

potrebni su veliki skupovi slika među kojima se ističu primjerice [6] koji sadrži preko 10 tisuća različitih klasa slika i danas predstavlja jedan od najkvalitetnijih skupova za učenje i testiranje modela, te [12], jednostavniji skup za ispitivanje modela razvijenih za probleme klasifikacije i regresije.

Za potrebe izgradnje modela za strojno učenje su razvijene popularne biblioteke poput Tensorflow-a [4] i PyTorch-a koje znatno olakšavaju i ubrzavaju proces razvoja i treniranja modela.

Današnji uspješni modeli se baziraju na rezidualnim blokovima koji se oslanjaju na pojam rezidualnih veza. Rezidualna veza omogućava direktan prolaz signala i gradijena kroz blok dubokog modela bez utjecaja nelinearnih funkcija, što se pokazuje iznimno korisnim za učenje dubokih modela. Pokazuje se da ovakvom organizacijom možemo graditi dublje modele koji će moći dati bolje rezultate na problemima u okviru dubokog učenja. Cilj ovog rada je razviti duboke konvolucijske modele sa rezidualnim vezama za klasifikaciju slika na skupu CIFAR-10 i ustanoviti utjecaj rezidualnih veza na točnost klasifikacije podataka. Rezultate je potrebno usporediti sa jednostavnijim modelima koje ćemo za tu svrhu rekonstruirati. U radu je dan kraći pregled popularne Tensorflow biblioteke za strojno učenje. Detaljan opis arhitekture i rezultata, kao i dijelovi programske implementacije i tehnika korištenih u razvoju modela su prikazani u nastavku rada.

2. Duboko učenje

Duboko učenje kao grana strojnog učenja na popularnosti je dobila tek nedavno, razvojem novih tehnologija modeliranja i učenja modela. Znatno poboljšavanje procesne moći računala¹ kao i razvoj velikih skupova od nekoliko stotina tisuća podataka omogućavaju izgradnju modela koji danas ostvaruju impresivne rezultate. Duboko učenje se bazira na dubokim modelima, odnosno arhitekturama koje sadrže slijed naučenih nelinearnih transformacija za ekstrakciju značajki iz podataka.

2.1. Konvolucijski modeli

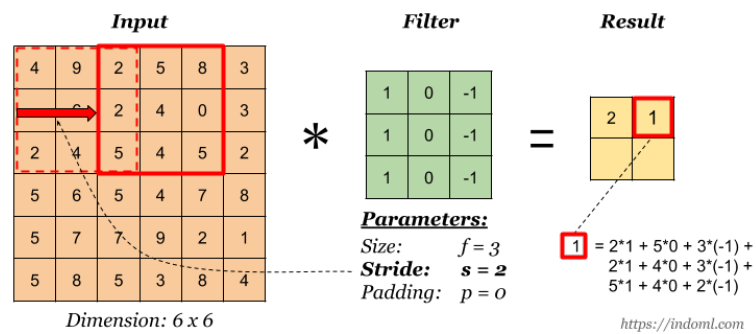
U praksi, najčešći modeli koje danas koristimo u okviru računalnog vida su konvolucijski modeli. Takve modele karakteriziraju konvolucijski slojevi koji omogućavaju različite aktivacije na pojedinim dijelovima ulaznih podataka.

2.1.1. Konvolucijski slojevi

Konvolucijski slojevi su najznačajniji slojevi specifični za konvolucijske neuronske mreže. Specifični su po operaciji konvolucije koju provode nad ulaznim podacima. Svaki konvolucijski sloj obilježavaju filtri koji se koriste u operaciji konvolucije, njihova dimenzija koja određuje dimenzije mape izlaznih značajki sloja, te pomak kojim se filter pomiče po mapi ulaznih značajki u procesu generiranja mape izlaznih značajki. Proces konvolucije možemo najbolje prikazati na jednom primjeru. Ulaz u konvolucijski sloj nam predstavlja jedna slika dimenzija $32 \times 32 \times 3$. Konvoluciju vršimo sa 16 filtera dimenzija 3×3 . Filter pomičemo za 1 u horizontalnom i vertikalnom smjeru. Bitno je napomenuti da filter konvoluciju radi na cijeloj dubini ulaza, tako je zapravo filter u našem slučaju dimenzija $3 \times 3 \times 3$. Izlazni sloj značajki će imati dubinu onoliko koliko imamo filtera a to je u našem slučaju 16. Širinu izlaznog sloja računamo na sljedeći način $W_{out} = (W_{in} - F + 2P) / S + 1$, gdje je W_{in} širina ulazne matrice, F

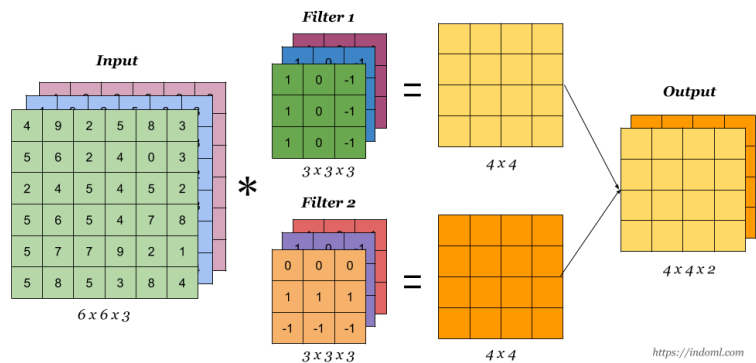
¹Nastanak tehnologije cuda, biblioteke cuDNN kao i ogroman napredak današnjih grafičkih kartica

je širina filtra, P označava broj nula koje nadodajemo po širini mape sa svake strane za kontrolu širine izlazne mape značajki, S označava pomak po širini a W_{out} konačnu širinu izlazne mape značajki. Visinu izlazne mape značajki računamo analogno. Tako u našem primjeru konačne dimenzije izlazne mape značajki su $32 \times 32 \times 16$. Sam operator konvolucije pozicijski množi svaku težinu filtra sa svakom vrijednosti perceptivnog polja filtra te sve dobivene vrijednosti zbraja u jedan skalar koji predstavlja jedan element izlazne mape značajki. Dobar prikaz kako operacija konvolucije funkcionira možemo vidjeti na slici 2.1. Na slici 2.2 vidimo kako se slojevi nižu jedan na drugi i



Slika 2.1: Prikaz kako funkcionira operator konvolucije. Slika je preuzeta sa [1]

tako tvore konačnu izlaznu mapu značajki za neki konvolucijski sloj.



Slika 2.2: Slika prikazuje kako se formira konačni izlaz konvolucijskog sloja. Slika je preuzeta sa [1]

2.1.2. Potpuno povezani slojevi

U potpuno povezanom sloju svaki neuron je povezan sa svim izlazima prethodnog sloja. Potpuno povezani slojevi su korisni jer mogu naučiti nelinearne kombinacije značajki prethodnog sloja. Ako prethodni sloj u modelu ima ukupno n izlaza a potpuni sloj ima m neurona, između ta dva sloja ćemo imati $m \times n$ težina uz jednu dodatnu

težinu b koju nazivamo prag. Potpuno povezane slojeve u konvolucijskim neuron-skim mrežama obično koristimo među zadnjim slojevima, jer kombiniraju značajke iz različitih dijelova mape ulaznih značajki i omogućavaju prepoznavanje izlazne klase iz informacija sadržanih u svim dijelovima slike, za razliku od konvolucijskih slojeva koje obilježava svojstvo lokalnosti. Značajke prije dovođenja na ulaz potpunog sloja transformiramo u jednodimenzionalan vektor - matricu dimenzija $32 \times 32 \times 3$ transformiramo u vektor sa 3072 člana. U okviru rada koristimo potpuno povezan sloj sa 10 neurona na kraju mreže, tako da svaki neuron daje izlaz za određen semantički razred. U dubokim konvolucijskim modelima za ekstrakciju značajki koristimo konvolucijske slojeve zbog njihovog svojstva lokalnosti i manjeg broja parametara što u konačnici doprinosi smanjenju vjerojatnosti pretreniranja mreže.

2.1.3. Sloj sažimanja

U ranijim modelima slojevi sažimanja su se masovno koristili za smanjivanje dimenzionalnosti ulazne mape značajki kako bi se smanjio broj parametara i nastojalo smanjiti pretreniranost. Sloj sažimanja provodi operacije nad svakim dijelom dubine ulazne mape značajki neovisno. Definiramo prozor dimenzija F , obavljamo definiranu operaciju i pomičemo prozor za S , slično kao kod konvolucijskih slojeva. Tako je širina izlazne mape značajki $W_{out} = (W_{in} - F) / S + 1$ gdje je W_{in} širina ulazne mape značajki, F je širina prozora, S označava pomak po širini a W_{out} širinu izlazne mape značajki. Analogno računamo i za visinu izlazne mape značajki. Bitno je primjetiti da dubina izlazne mape značajki nakon sloja sažimanja ostaje jednaka dubini ulazne mape značajki. Operacije koje obavljamo nad prozorom su obično operacije traženja maksimuma, traženje prosječne vrijednosti i L^2 -sažimanje. Danas se konvolucijski slojevi sve rjeđe koriste jer primjerice u okviru rezidualnih modela za smanjenje dimenzionalnosti koristimo konvolucijske slojeve sa pomakom po širini i visini većim od 1. U izgradnji našeg rezidualnog modela koristimo samo jedan sloj sažimanja sa operacijom traženja prosjeka sa pomakom po dužini i širini iznosa 1 nakon posljednjeg rezidualnog bloka.

2.2. Duboki konvolucijski modeli sa rezidualnim vezama

Duboki modeli su zaslužni za uspješno rješavanje mnogih problema poput klasifikacije slika, prevođenja jezika i analize teksta. Razdvajaju problem na učenje niza hijerarhijskih značajki čime omogućuju raspoznavanje složenijih objekata. Primjerice lice

čovjeka je sastavljeno od očiju, usta, nosa, oči su sastavljene od šarenice, bjeloočnice i zjenice i tako dalje. U sklopu rada istražujemo duboke modele sa rezidualnim vezama. Ideja dubokog učenja je razviti modele koji će podatke modelirati sa više razina apstrakcije. Doseg dubokih modela bez rezidualnih veza je primjerice model VGG19[14] sa 19 težinskih slojeva i velikim brojem parametara. U dubljim mrežama se počinje javljati problem povećane pogreške na skupu za treniranje koji nije uzrokovan pretreniranjem, što ćemo u ovom radu nastojati pokazati. Takve modele je teško trenirati a produblјivanjem modela se ne postiže veća točnost. Pokazalo se da samo daljnje produblјivanje modela neće moći riješiti kompliciranije probleme na području računalnog vida. Postojao je problem umirućih gradijenata koji je djelomično riješen sa normalizacijom ulaznih podataka i korištenjem BN slojeva koji su omogućili mrežama sa desecima slojeva ponovnu konvergenciju. Taj problem je potaknuo i korištenje aktivacijske funkcije zglobnice umjesto dotad popularne sigmoidalne aktivacijske funkcije. U okviru rada proučavamo predložen [10] rezidualni model koji uspješno rješava ove probleme. Konvolucijski slojevi se ne vežu direktno jedan na drugi već se uvodi veza prema ulaznom sloju bloka na način da od ulaza do izlaza imamo put gradijenata bez operacije konvolucije.

Rad pretpostavlja da je takvo mapiranje lakše optimizirati nego originalno mapiranje. Uvode se rezidualne veze koje ulaz na bloku konvolucijskih slojeva propagiraju bez izmjene na izlaz gdje se kombiniraju sa izlazom niza konvolucijskih slojeva. Takve veze ne dodaju dodatne parametre u model a izvedba nije računski zahtjevna - provodi se jednostavno zbrajanje ulaza sa izlazom mape značajki konvolucijskih slojeva. Takvu organizaciju možemo i matematički formulirati. Ako pretpostavimo da slojevi mogu aproksimirati neku složenu funkciju $\mathcal{H}(x)$, također možemo pretpostaviti da slojevi mogu aproksimirati funkciju $\mathcal{H}(x) - x$ [10]. Postavljamo da niz konvolucijskih slojeva aproksimira funkciju $\mathcal{F}(x) := \mathcal{H}(x) - x$, pa tako izlaz iz bloka predstavlja funkcija $\mathcal{F}(x) + x$.

Prednost takve organizacije modela je dodatno smanjivanje utjecaja umirućih gradijenata na model. U slučaju da blok konvolucijskih slojeva aktivacijom producira konstante izlaze uslijed aktivacije funkcija, odnosno da dio mreže odumre, model će i dalje moći optimizirati ostale parametre tijekom učenja propagacijom unazad. Dodatno, u rezidualnim modelima se intenzivno koriste BN slojevi kako bi se riješili navedeni problemi. Prednost rezidualnih veza je što omogućuju direktnu propagaciju informacije kroz slojeve. Problem sa klasičnim konvolucijskim mrežama je što izlaz sloja ovisi samo o izlazima prethodnog sloja. Rezidualne veze omogućavaju učenje konvolucijskih slojeva koji direktno ovise i o "plićim" dijelovima mreže.

3. Ispitni skupovi

Kako bismo mogli trenirati i testirati razvijene modele dubokog učenja potrebni su nam skupovi podataka. Skup podataka dijelimo na skup za treniranje i skup za testiranje. Iz skupa za treniranje izdvajamo mali dio koji koristimo kao validacijski skup. Skup podataka obično dijelimo tako da skup za treniranje sadrži 70% originalnih podataka, skup za validaciju i testiranje po 15% podataka[5]. Tijekom treniranja na ulaz modela dovodimo ulazne podatke, u našem slučaju slike, te za svaki ulazni podatak pripadnu oznaku semantičkog razreda kojemu određena slika pripada. Podatke propuštamo kroz naš model i izlaz modela uspoređujemo sa danim oznakama razreda na temelju kojih prilagođavamo parametre unutar modela algoritmom unazadne propagacije. Za potrebe treniranja i ispitivanja naših modela koristimo poznate ispitne skupove CIFAR10 i MNIST.

3.1. Predobrada podataka

Ulazni podatci često sadrže dosta šuma ili nisu prikladni za učenje, što nas motivira da ulazne podatke izmijenimo na način na koji bi naši modeli lakše učili - podatke želimo predprocesirati. Vršimo centriranje i normalizaciju podataka.

Centriranje se vrši oduzimanjem aritmetičke sredine cijeloga skupa od svakog člana skupa. Nakon centriranja aritmetička sredina skupa je 0. Kako bi normalizirali podatke, sve podatke podijelimo sa standardnom devijacijom. Ovaj postupak vršimo jer je moguće da naši podaci potencijalno odsupaju za nekoliko redova veličine što znatno otežava učenje modela. Normalizacijom u praksi ubrzavamo i olakšavamo učenje modela.

3.2. MNIST

MNIST ispitni skup je skup ručno pisanih znamenki. Skup za treniranje se sastoji od 60000 podataka a skup za testiranje od 10000 podataka. Svaka slika je veličine

28×28×1 piksela. Svaki piksel predstavlja razinu sive boje skalom od 0 do 255 (engl. *grayscale*), odnosno vrijednosti od 0 do 1, gdje 0 predstavlja crnu boju a 1 ili 255 bijelu boju. Danas čak i jednostavni konvolucijski modeli ostvaruju veoma dobre rezultate na MNIST skupu.



Slika 3.1: Primjer podataka iz skupa MNIST. Redom predstavljaju znamenke 6 7 7.

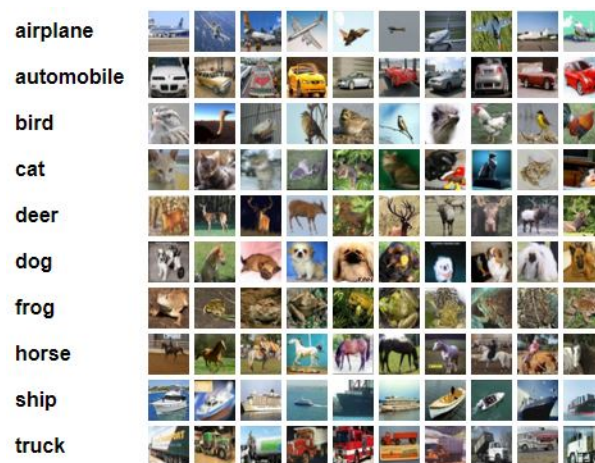
3.3. CIFAR10

Duboke konvolucijske modele sa rezidualnim vezama za potrebe ovog rada ćemo ispitivati na CIFAR10 skupu. Skup se sastoji od 60000 slika koje su podijeljene na 10 različitih semantičkih razreda koji predstavljaju različite vrste životinja i prijevoznih sredstava. Od svakog razreda u skupu imamo po 6000 slika. Skup za testiranje iz ovog skupa će sadržavati 10000 slika, dok će skup za treniranje sadržavati 50000 slika. Za potrebe validacije modela ćemo iz skupa za treniranje izdvojiti 5000 slika. Svaka slika je matrica dimenzija 32×32×3 u kojoj svaka jedinica matrice predstavlja količinu jedne od tri RGB komponente boje za određeni piksel slike, odnosno vrijednosti između 0 i 255 za svaku komponentu boje.

Podatke za potrebe treniranja ovog modela smo predprocesirali kako je opisano u poglavlju 3.1.



Slika 3.2: Primjer jednog podatka kojeg dovodimo na ulaz mreže.



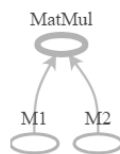
Slika 3.3: Primjer slika sadržanih u CIFAR10 skupu. Slika je preuzeta sa [12]

4. O Tensorflowu

Tensorflow je jedna od najpoulnijih biblioteka otvorenog koda za strojno učenje. Razvijena je pod okriljem Google-a koji ju je u početku koristio za internu upotrebu. Organizirana i jednostavna temeljna arhitektura, opširna dokumentacija i efikasnost izvođenja koda su glavne prednosti Tensorflow-a koje ga čine konkurentnim. Osim funkcionalnosti koje nudi za strojno učenje, koristi se i kao simbolička matematička biblioteka. Tensorflow se bazira na modelu toka podataka. Svaki Tensorflow program se dijeli u dvije faze:

- izgradnja statičkog grafa,
- izvođenje operacija.

Graf predstavlja reprezentaciju izračuna koji želimo obaviti u smislu ovisnosti između pojedinih operacija. U grafu toka podataka čvorovi predstavljaju jedinice izračuna, odnosno operacije, dok listove predstavljaju ulazni podaci koje graf konzumira i izlazni podaci koje graf proizvodi. Primjerice definirajmo jednostavan problem - želimo pomnožiti dvije matrice. Naš Tensorflow graf će se sastojati od tri čvora - ulazna matrica, izlazna matrica i čvora operacije množenja matrica.



Slika 4.1: Primjer Tensorflow grafa

Tensorflow graf interno sve **tenzore** pohranjuje u kolekcije do kojih je moguće doći unutar definicije grafa funkcijom dohvata `tf.get_collection` preko ključa imena varijable. Tenzori predstavljaju generalizaciju vektora i matrica. Interno se pohranjuju kao n-dimenzionalna polja podataka određenog tipa. Svaki tenzor definiira dimenzija i tip podataka. U fazi izvođenja operacija definiramo Tensorflow sesiju

za pokretanje pojedinih dijelova grafa. Sesiji kao argument možemo predati Python imena iz definicije grafa koje nas zanimaju poput rezultata operacije množenja u našem slučaju. Također, preko rječnika `feed_dict` možemo predati vrijednosti ulaznih varijabli koje su nužne da bi se izračun mogao izvesti. Navedeni primjer u Tensorflowu bi mogao izgledati ovako:

```
1 import tensorflow as tf
2 import numpy as np
3
4 M1 = tf.placeholder(dtype=tf.float32, name="M1")
5 M2 = tf.placeholder(dtype=tf.float32, name="M2")
6 result = tf.placeholder(dtype=tf.float32, name="result")
7
8 result = tf.matmul(M1, M2)
9
10 with tf.Session() as sess:
11     mat1 = np.array([[1, 2, 3], [4, 5, 6], [7, 8, 9]])
12     mat2 = np.array([[1, 2, 3, 4], [5, 6, 7, 8], [9, 10, 11, 12]])
13
14     mul_result = sess.run([result], feed_dict={
15                             M1: mat1,
16                             M2: mat2,
17                         })
18     print("Result of multiplying matrices mat1 and mat2.\n",
19           mul_result) #numpy array
```

U sklopu rada sastavljanje grafa se svodi na definiciju ulaznih parametara, dubokog modela, funkcije gubitka, optimizatora koji se koristi u postupku treniranja i stope učenja. U fazi izvođenja operacija obično iterativno pozivamo sesiju kako bi naučila parametre na temelju podataka iz trenutne iteracije nad epohom iz trening skupa. Pozivamo je i sa podacima iz skupa za validaciju kako bi pratili moć generalizacije našeg modela. Na kraju treniranja je pozivamo sa skupom za učenje kako bi ispitali konačne performanse modela. Sami model neuronske mreže možemo jednostavno izgraditi korištenjem tehnologije poput `tf.layers` koji ukalupljuje sve varijable poput težina koje se optimiziraju i operacije potrebne za funkcioniranje određenog sloja neuronske mreže. Izgradnja modela postaje jednostavno nizanje zamišljenih slojeva jedan na drugi:

```
1 batch_norm = tf.layers.batch_normalization(conv1, training=isTrain)
2 relu = tf.nn.relu(batch_norm)
3 conv1 = tf.layers.Conv2D(filters=filters,
4                           kernel_size=(3, 3),
```

```
5         strides=init_strides ,  
6         padding="same" ,)(relu)
```

Druga mogućnost je korištenje tehnologije `tf.nn` koja nam omogućuje pisanje koda na nešto nižoj razini. Kako se obje tehnologije baziraju na Tensorflow tenzorima, moguće ih je po volji kombinirati. Za potrebe izvođenja programske izvedbe u ovom radu ćemo koristiti Tensorflow sa podrškom za izvođenje na grafičkoj kartici. Tensorflow nam dopušta velik stupanj slobode pri definiciji svih dijelova modela. Biblioteku koristi široka zajednica ljudi koja konstantno doprinosi daljnjem razvoju. Za svaki dio biblioteke postoje primjeri koji olakšavaju primjenu napisanog koda. Tensorflow nudi i aplikacijsko korisničko sučelje visoke razine koje omogućava lakše i brže pisanje programa. Primjer je Tensorflow Estimator koji omogućava enkapsulaciju cijelog procesa učenja modela kojeg u okviru rada nećemo razmatrati.

5. Detalji implementacije

5.1. Arhitektura jednostavnog modela za klasifikaciju znamenki

Gradimo jednostvnu plitku neuronsku mrežu za klasifikaciju MNIST znamenki na sljedeći način:

- Ulazni sloj - podaci veličine $28 \times 28 \times 1$ piksela, podijeljeni u mini grupe od po 32 slike
- Prvi konvolucijski sloj - dimezija filtra 5×5 , pomak po širini i visini iznosa 1, 1 ulazni kanal i 16 izlaznih kanala. Izlaz iz sloja prosljeđujemo na ulaz od aktivacijske funkcije zglobnice.
- Prvi sloj sažimanja - jezgra dimenzija 2×2 , pomak po širini i visini iznosi 2. Smanjuje dimenzije izlaznih značajki.
- Drugi konvolucijski sloj - dimenzija filtra 5×5 , 16 ulaznih i 32 izlazna kanala sa pomakom po visini i širini 1.
- Drugi sloj sažimanja - jezgra dimenzija 2×2 , pomak po visini i širini iznosi 2. Koristimo za smanjivanje dimenzija značajki.
- Potpuno povezani sloj sa 512 neurona.
- Izlazni sloj u kojem svaki neuron predstavlja izlaz za jednu klasu.

5.2. Arhitektura plitkog modela za skup CIFAR10

Za potrebe usporedbe plitkih i dubokih konvolucijskih modela, gradimo jednostavnu plitku neuronsku mrežu sastavljenu od sljedećih slojeva:

- Ulazni sloj predstavlja jednu mini grupu podataka iz skupa CIFAR10, svaki podatak je veličine $32 \times 32 \times 3$.

- Prvi konvolucijski sloj - dimenzija filtra 5×5 , 3 ulazna i 16 izlaznih kanala, pomak po visini i širini iznosi 1. Izlaz sloja dovodimo na ulaz aktivacijske funkcije zglobnice.
- Prvi sloj sažimanja - jezgra dimenzija 3×3 , pomak po širini i visini iznosa 2.
- Drugi konvolucijski sloj - dimenzija filtra 5×5 , 16 ulaznih kanala, 32 izlazna kanala. Pomak po visini i širini iznosa 1. Izlaz sloja dovodimo na ulaz aktivacijske funkcije zglobnice.
- Drugi sloj sažimanja - jezgra dimenzija 3×3 , pomak po visini i širini iznosa 2.
- Prvi potpuno povezani sloj - 256 neurona, izlaz sloja dovodimo na ulaz aktivacijske funkcije zglobnica.
- Drugi potpuno povezani sloj - 128 neurona, izlaz sloja dovodimo na ulaz aktivacijske funkcije zglobnica.
- Izlazni sloj - svaki od 10 izlaznih neurona predstavlja izlaz za svaku klasu iz skupa CIFAR10.

5.3. Arhitektura dubokog rezidualnog modela za skup CIFAR10

Model koji razvijamo bazira se na Resnet[10] arhitekturi za skup CIFAR10. Gradimo duboku neuronsku mrežu od sljedećih slojeva:

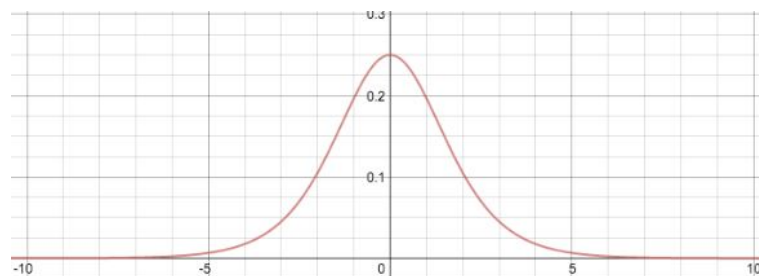
- Ulazni sloj predstavlja jednu grupu podataka iz skupa kojoj je svaki član slika iz skupa CIFAR10 $32 \times 32 \times 3$,
- Prvi konvolucijski sloj: dimenzija filtra - 3×3 , jedan ulazni i 16 izlaznih kanala. Pomak po dužini i širini iznosi 1. Na izlaz konvolucijskog sloja stavljamo sloj normalizacije grupe (engl. *Batch Normalization layer*) (kasnije u tekstu BN). Izlaz BN sloja dovodimo na ulaz aktivacijske funkcije zglobnice.
- Blok konvolucijskih slojeva sa filtrom sa 16 izlaznih kanala - blok ponavljamo n puta
 - Konvolucijski sloj: dimenzija filtra - 3×3 , 16 ulaznih i 16 izlaznih kanala. Pomak po dužini i širini iznosi 1. Nad izlazom konvolucijskog sloja radimo normalizaciju grupe i dovodimo na ulaz aktivacijske funkcije zglobnice.

- Konvolucijski sloj: dimenzija filtra - 3×3 , 16 ulaznih i 16 izlaznih kanala. Pomak po dužini i širini iznosi 1. Nad izlazom konvolucijskog sloja radimo normalizaciju grupe(BN sloj). Izlaz BN sloja zbrajamo sa zapamćenim ulazom na početku bloka i propuštamo kroz aktivacijsku funkciju zglobnicu.
- Blok konvolucijskih slojeva sa filtrom sa 32 izlazna kanala - blok ponavljamo n puta
 - Konvolucijski sloj: dimenzija filtra - 3×3 , 32 ulazna i 32 izlazna kanala. Pomak po dužini i širini iznosi 1. Nad izlazom konvolucijskog sloja radimo normalizaciju grupe i dovodimo na ulaz aktivacijske funkcije zglobnice.
 - Konvolucijski sloj: dimenzija filtra - 3×3 , 32 ulazna i 32 izlazna kanala. Pomak po dužini i širini iznosi 1. Nad izlazom konvolucijskog sloja radimo normalizaciju grupe(BN sloj). Izlaz BN sloja zbrajamo sa zapamćenim ulazom na početku bloka i propuštamo kroz aktivacijsku funkciju zglobnicu.
- Blok konvolucijskih slojeva sa filtrom sa 64 izlazna kanala - blok ponavljamo n puta
 - Konvolucijski sloj: dimenzija filtra - 3×3 , 64 ulazna i 64 izlazna kanala. Pomak po dužini i širini iznosi 1. Nad izlazom konvolucijskog sloja radimo normalizaciju grupe i dovodimo na ulaz aktivacijske funkcije zglobnice.
 - Konvolucijski sloj: dimenzija filtra - 3×3 , 64 ulazna i 64 izlazna kanala. Pomak po dužini i širini iznosi 1. Nad izlazom konvolucijskog sloja radimo normalizaciju grupe(BN sloj). Izlaz BN sloja zbrajamo sa zapamćenim ulazom na početku bloka i propuštamo kroz aktivacijsku funkciju zglobnicu.
- Sloj sažimanja sa operatorom prosjeka - pomak po dužini i širini iznosa 1. Dimenzija jezgre ovisi o konkretnoj mreži.
- Sloj izravnavanja - ulaz izravnamo u jedan vektor kako bi podatke pripremili za potpuno povezani sloj.
- Potpuno povezani sloj - svaka jedinica je spojena sa svakom jedinicom prethodnog sloja. U ovom sloju imamo 10 jedinica od kojih svaka na izlazu daje nenormalizirane aktivacije za svaku izlaznu klasu.

Primjerice, za $n=3$ ukupno težinskih slojeva imamo $3*2*3+2 = 20$. Tako konstruiranu mrežu nazivamo Resnet20. Bitno je napomenuti da u prvom konvolucijskom sloju u blokovima sa 32 i 64 sloja koristimo pomak 2 po visini i širini kako bi prikladno smanjili veličinu mape značajki - do ovih vrijednosti smo došli računajući potrebne veličine kako je opisano u 2.1.1.

U našim modelima nakon svakog konvolucijskog sloja koristimo BN sloj¹. Problem sa značajkama je kao i sa ulaznim podacima - ako u dijelu mreže imamo značajke iz različitih distribucija, model će sporo učiti. Ako podaci is skupa za treniranje i podaci iz skupa za testiranje dolaze iz različitih distribucija, model će se loše ponašati na skupu za testiranje - pogreška će se propagirati kroz mrežu većom amplitudom. Bitno je naglasiti da se BN sloj različito ponaša prilikom treniranja i testiranja mreže. Prilikom treniranja se aritmetička sredina i standardna devijacija težina računaju nad cijelom mini grupom. Prilikom testiranja se aritmetička sredina i standardna devijacija računaju naučenim parametrima koji se uče prilikom treniranja mreže.

Nakon svakog BN sloja koristimo aktivacijsku funkciju zglobnicu (engl. *ReLU - Rectified Linear Unit*). ReLU je aktivacijska funkcija koja je omogućila duboke modele kakve danas poznajemo. Glavna prednost ReLU nad primjerice često korištenom sigmoidalnom funkcijom je manja vjerojatnost problema umirućih gradijenata. Problem umirućih gradijenata se manifestira kod aktivacijskih funkcija koje imaju zasićenje za jako negativne i jako pozitivne vrijednosti mape značajki. Sigmoidalna funkcija



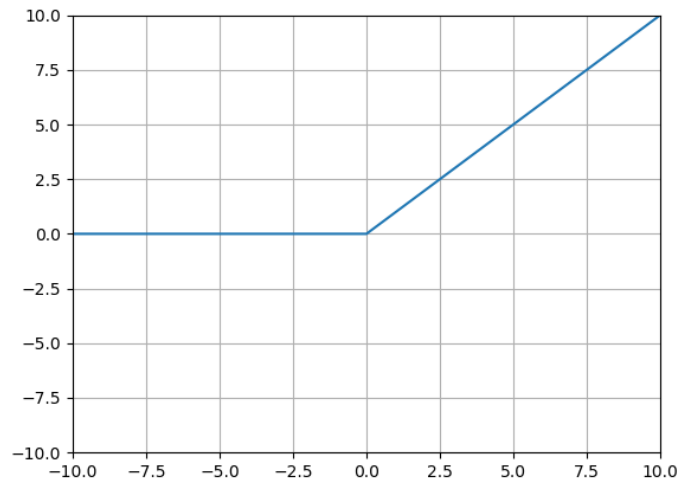
Slika 5.1: Prikaz gradijenata sigmoidalne aktivacijske funkcije. Slika je preuzeta sa [3]

za negativne vrijednosti producira vrijednosti blizu 0, dok za pozitivne vrijednosti producira vrijednosti blizu 1. U takvim situacijama je gradijent funkcije veoma blizu 0 što znači da se prilikom algoritma unazadne propagacije težine praktički ne ažuriraju. Prednost aktivacijske funkcije zglobnice je što je njezina kodomena znatno šira - ulaz manji od 0 priteže na 0, dok ulaz veći od 0 propušta. Gradijent za ulaze veće od 0 je

¹U okviru rada [11] se predlaže nešto drugačija arhitektura pojedinog bloka koju bi bilo korisno razmotriti

različit od 0.

$$f(x) = \begin{cases} 0 & x \leq 0 \\ x & x > 0 \end{cases} \quad (5.1)$$



Slika 5.2: Prikaz ReLU aktivacijske funkcije.

Navedenim postupkom se postiže nelinearnost koja je nužna u dubokim modelima[8]. Glavni nedostaci zglobnice kao aktivacijske funkcije:

- Gradijent nije definiran za $x = 0$ - problem rješavamo postavljanjem na vrijednost 0 ili 1
- Za $x < 0$, odnosno u neaktivnom stanju, ne propušta značajke unaprijed i gradijente unatrag - ako koristimo normalizaciju grupe koja implicira srednju vrijednost 0 i standardnu devijaciju 1, vjerojatnost neaktivnog stanja je 0.5, što je prihvatljivo

Potencijalan problem sa aktivacijskom funkcijom zglobnicom je slučaj kad se težine ažuriraju na način da većina težina postane negativna - odmak se nauči tako da aktivacijska funkcija propušta konstantnu vrijednost 0 za bilo koji ulazni podatak - problem umiruće ReLU funkcije. Problemu možemo doskočiti tako da za vrijednosti manje od 0 koristimo $\alpha * x$, gdje je pri tome α mali pozitivan broj a x ulaz funkcije, što omogućuje funkciji da se polako oporavi - nova aktivacijska funkcija se naziva propusna zglobnica(engl. *LeakyReLU*).² U nastavku prikazujemo implementaciju rezidualnih blokova. Funkcija `shortcut` obavlja zbrajanje ulaza sa blokom niza konvolu-

²U ovom radu je nismo razmatrali, u daljnjem radu bi bilo dobro isprobati utjecaj ove aktivacijske funkcije na učenje modela.

cija. Funkcija `residual_block` predstavlja ključan dio implementacije. Ponavlja blok sa pojedinim filtrom `n` puta. Funkcija `basic_block` gradi svaki pojedini blok.

```
1 def shortcut(input, residual):
2     """Adds a shortcut between input and block of convolutions and
3     merges them with "sum"
4     """
5     input_shape = input.get_shape().as_list()
6     residual_shape = residual.get_shape().as_list()
7     stride_width = int(round(input_shape[ROW_AXIS] / residual_shape[
8     ROW_AXIS]))
9     stride_height = int(round(input_shape[COL_AXIS] / residual_shape
10    [COL_AXIS]))
11    equal_channels = input_shape[CHANNEL_AXIS] == residual_shape[
12    CHANNEL_AXIS]
13
14    shortcut = input
15
16    # 1 X 1 conv if shape is different. Else identity.
17    if stride_width > 1 or stride_height > 1 or not equal_channels:
18        #
19        initializer=tf.keras.initializers.he_normal()
20        regularizer = tf.contrib.layers.l2_regularizer(scale=
21        WEIGHT_DECAY)
22        shortcut = tf.layers.Conv2D(filters=residual_shape[
23        CHANNEL_AXIS],
24
25
26
27
28
29
30
31
32
33
34
35
36
37
38
39
40
41
42
43
44
45
46
47
48
49
50
51
52
53
54
55
56
57
58
59
60
61
62
63
64
65
66
67
68
69
70
71
72
73
74
75
76
77
78
79
80
81
82
83
84
85
86
87
88
89
90
91
92
93
94
95
96
97
98
99
100
101
102
103
104
105
106
107
108
109
110
111
112
113
114
115
116
117
118
119
120
121
122
123
124
125
126
127
128
129
130
131
132
133
134
135
136
137
138
139
140
141
142
143
144
145
146
147
148
149
150
151
152
153
154
155
156
157
158
159
160
161
162
163
164
165
166
167
168
169
170
171
172
173
174
175
176
177
178
179
180
181
182
183
184
185
186
187
188
189
190
191
192
193
194
195
196
197
198
199
200
201
202
203
204
205
206
207
208
209
210
211
212
213
214
215
216
217
218
219
220
221
222
223
224
225
226
227
228
229
230
231
232
233
234
235
236
237
238
239
240
241
242
243
244
245
246
247
248
249
250
251
252
253
254
255
256
257
258
259
260
261
262
263
264
265
266
267
268
269
270
271
272
273
274
275
276
277
278
279
280
281
282
283
284
285
286
287
288
289
290
291
292
293
294
295
296
297
298
299
300
301
302
303
304
305
306
307
308
309
310
311
312
313
314
315
316
317
318
319
320
321
322
323
324
325
326
327
328
329
330
331
332
333
334
335
336
337
338
339
340
341
342
343
344
345
346
347
348
349
350
351
352
353
354
355
356
357
358
359
360
361
362
363
364
365
366
367
368
369
370
371
372
373
374
375
376
377
378
379
380
381
382
383
384
385
386
387
388
389
390
391
392
393
394
395
396
397
398
399
400
401
402
403
404
405
406
407
408
409
410
411
412
413
414
415
416
417
418
419
420
421
422
423
424
425
426
427
428
429
430
431
432
433
434
435
436
437
438
439
440
441
442
443
444
445
446
447
448
449
450
451
452
453
454
455
456
457
458
459
460
461
462
463
464
465
466
467
468
469
470
471
472
473
474
475
476
477
478
479
480
481
482
483
484
485
486
487
488
489
490
491
492
493
494
495
496
497
498
499
500
501
502
503
504
505
506
507
508
509
510
511
512
513
514
515
516
517
518
519
520
521
522
523
524
525
526
527
528
529
530
531
532
533
534
535
536
537
538
539
540
541
542
543
544
545
546
547
548
549
550
551
552
553
554
555
556
557
558
559
560
561
562
563
564
565
566
567
568
569
570
571
572
573
574
575
576
577
578
579
580
581
582
583
584
585
586
587
588
589
590
591
592
593
594
595
596
597
598
599
600
601
602
603
604
605
606
607
608
609
610
611
612
613
614
615
616
617
618
619
620
621
622
623
624
625
626
627
628
629
630
631
632
633
634
635
636
637
638
639
640
641
642
643
644
645
646
647
648
649
650
651
652
653
654
655
656
657
658
659
660
661
662
663
664
665
666
667
668
669
670
671
672
673
674
675
676
677
678
679
680
681
682
683
684
685
686
687
688
689
690
691
692
693
694
695
696
697
698
699
700
701
702
703
704
705
706
707
708
709
710
711
712
713
714
715
716
717
718
719
720
721
722
723
724
725
726
727
728
729
730
731
732
733
734
735
736
737
738
739
740
741
742
743
744
745
746
747
748
749
750
751
752
753
754
755
756
757
758
759
760
761
762
763
764
765
766
767
768
769
770
771
772
773
774
775
776
777
778
779
780
781
782
783
784
785
786
787
788
789
790
791
792
793
794
795
796
797
798
799
800
801
802
803
804
805
806
807
808
809
810
811
812
813
814
815
816
817
818
819
820
821
822
823
824
825
826
827
828
829
830
831
832
833
834
835
836
837
838
839
840
841
842
843
844
845
846
847
848
849
850
851
852
853
854
855
856
857
858
859
860
861
862
863
864
865
866
867
868
869
870
871
872
873
874
875
876
877
878
879
880
881
882
883
884
885
886
887
888
889
890
891
892
893
894
895
896
897
898
899
900
901
902
903
904
905
906
907
908
909
910
911
912
913
914
915
916
917
918
919
920
921
922
923
924
925
926
927
928
929
930
931
932
933
934
935
936
937
938
939
940
941
942
943
944
945
946
947
948
949
950
951
952
953
954
955
956
957
958
959
960
961
962
963
964
965
966
967
968
969
970
971
972
973
974
975
976
977
978
979
980
981
982
983
984
985
986
987
988
989
990
991
992
993
994
995
996
997
998
999
1000
```

```

32         init_strides = 1
33         input = block_function(filters=filters , init_strides=
init_strides ,
34                                 is_first_block_of_layer=(not
is_first_layer and i == 0))(input)
35         return input
36
37     return f
38
39 def basic_block(filters , init_strides=(1, 1),
is_first_block_of_layer=False):
40     """Basic 3 X 3 convolution blocks for use on resnets.
41     """
42     def f(input):
43         special_strides=init_strides
44         if is_first_block_of_layer:
45             special_strides=(2,2)
46         regularizer = tf.contrib.layers.l2_regularizer(scale=
WEIGHT_DECAY)
47         initializer=tf.keras.initializers.he_normal()
48         conv1 = tf.layers.Conv2D(filters=filters , kernel_size=(3, 3)
,
49                                 strides=special_strides ,
50                                 padding="same" ,
51                                 kernel_regularizer=regularizer ,
52                                 kernel_initializer=initializer)(input)
53         conv1 = tf.layers.batch_normalization(conv1 , training=isTrain
)
54         conv1 = tf.nn.relu(conv1)
55         regularizer = tf.contrib.layers.l2_regularizer(scale=
WEIGHT_DECAY)
56         initializer=tf.keras.initializers.he_normal()
57         conv1 = tf.layers.Conv2D(filters=filters , kernel_size=(3, 3)
,
58                                 strides=init_strides ,
59                                 padding="same" ,
60                                 kernel_regularizer=regularizer ,
61                                 kernel_initializer=initializer)(conv1)
62         conv1 = tf.layers.batch_normalization(conv1 , training=isTrain
)
63
64         convolutions = conv1
65         return tf.nn.relu(shortcut(input , convolutions))

```

```
66     return f
```

Sljedeći odsječak prikazuje način na koji nižemo blokove sa filtrima 16, 32 i 64 jedan na drugi.

```
1 filters = 16
2 for i, r in enumerate(repetitions):
3     block = residual_block(block_fn, filters=filters, repetitions=r,
4                           is_first_layer=(i == 0))(block)
5     filters *= 2
```

5.4. Augmentacija podataka

Za učenje naših modela je potrebno mnogo podataka kako bi mogli što bolje klasificirati slike. Tehnika koja se često koristi kako bi se povećao skup podataka za treniranje je augmentacija podataka. Nad ulaznim podacima vršimo određene transformacije poput rotacije slike oko horizontalne i vertikalne osi, uvećanje i smanjivanje slike i nasumično izrezivanje slike iz transformirane slike kako bi dobili što robusnije modele. U okviru rada koristit ćemo prilično jednostavnu augmentaciju podataka koja je predložena u [10], koja uz manje izmjene pokazuje dobre rezultate u našoj implementaciji modela. Nad svakom mini-grupom podataka iz originalnog skupa podataka vršimo transformaciju na sljedeći način: svaku sliku iz mini-grupe uz neku fiksiranu vjerojatnost horizontalno zakrećemo. Na zakrenutu sliku sa svake strane dodajemo po 4 piksela. Iz dobivene slike nasumično izrezujemo sliku originalnih dimenzija $32 \times 32 \times 3$. Pokazuje se da na konkretnom problemu ostvarujemo bolje rezultate opisanom, tkzv. online augmentacijom nego offline augmentacijom gdje isti postupak provedemo samo jedanput prije samog treniranja. Online augmentacijom će model svaku sliku vidjeti u nekoliko različitih verzija koje će pomoći da naš model bude robusniji.

5.5. Postupak učenja

Ulazne podatke na početku naše programske izvedbe normaliziramo. Normalizirane podatke dovodimo na ulaz neuronske mreže i propagiramo značajke dobivene aktivacijom kroz mrežu algoritmom unaprijedne propagacije. Na kraju mreže računamo pogrešku koju propagiramo unatrag do prvih slojeva u mreži algoritmom unazadne propagacije i ovisno o pogreškama podešavamo parametre.

U okviru ovog rada nećemo detaljno razmatrati algoritam unazadne propagacije, već ćemo dati kratak pregled kako ažuriranje parametara funkcionira. Često korišten

algoritam za ažuriranje težina je algoritam stohastičkog gradijentnog spusta. Taj algoritam funkcionira na sljedeći način. Izračunamo pogreške svih slojeva u našem modelu. U skladu sa dobivenim pogreškama ažuriramo težine prema sljedećoj formuli:

$$\theta = \theta - \alpha \nabla_{\theta} J(\theta), \quad (5.2)$$

$$\nabla_{\theta} J(\theta) = \frac{1}{N} \sum_i^N \nabla_{\theta} L(\theta; x^{(i)}, y^{(i)}) \quad (5.3)$$

gdje je θ težina koju ažuriramo, α stopa učenja, J iznos pogreške za težinu koju ažuriramo.

U našim modelima koristimo mini grupe, zbog kojih ažuriranje težina obavljamo tek nakon prolaza kroz sve podatke u mini grupi. Takav postupak je bolji od ažuriranja težina nakon svakog podatka jer brže konvergira i brže se izvodi.

U okviru rada koristimo algoritam stohastičkog gradijentnog spusta sa momentom (engl. *SGD with momentum*). Ovaj algoritam unosi izmjene u odnosu na algoritam SGD, pa tako težine ažuriramo na sljedeći način:

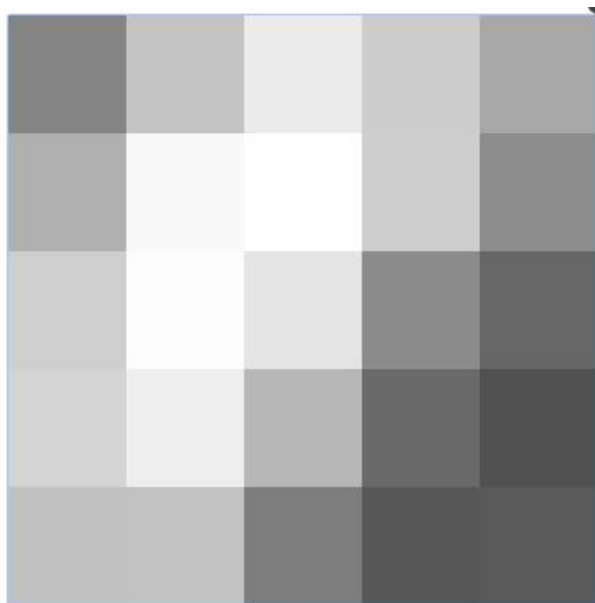
$$v = \gamma v + \alpha \nabla_{\theta} J(\theta; x^{(i)}, y^{(i)}) \quad (5.4)$$

$$\theta = \theta - v \quad (5.5)$$

gdje je v brzina a γ vrijednost između 0 i 1 i predstavlja faktor kojim reguliramo doprinos brzine a nazivamo ga momentum. Momentum u našem radu postavljamo na 0.9. Potrebno je pažljivo izabrati momentum jer premala i prevelika vrijednost utječu negativno na brzinu konvergencije. Ovaj algoritam vuče analogiju sa momentumom kakvim ga poznajemo u fizici. Prednost takvog algoritma nad običnim SGD je što postupak učenja ima manju vjerojatnost zapadanja u lokalne optimume funkcije gubitka. Za uspješno treniranje modela sa algoritmom SGD sa momentumom [15] potrebno je pažljivo podesiti hiperparametre i koristiti smislenu inicijalizaciju težina. U ovom radu koristimo He normal inicijalizaciju težina kako je opisano u [9]. U slučaju nekvalitetne inicijalizacije i neadekvatnih parametara, model vjerojatno neće moći učiti. U okviru rada smo spoznali da je to zaista tako. Često nam je gubitak ispadao prevelik pri samom početku treniranja što je onemogućavalo konvergenciju - program smo morali mnogo puta terminirati i podesiti parametre te ponovno pokušati trenirati model.

Na izlazu našeg modela primjenjujemo softmax funkciju. Funkcija na temelju izlaza posljednjeg sloja računa vjerojatnosnu distribuciju po svim izlaznim klasama, za svaki podatak iz mini grupe. Za svaki podatak i za svaki razred računamo sljedeće:

$$p(y = j|x) = \frac{e^{(w_j^T x + b_j)}}{\sum_{k \in K} e^{(w_k^T x + b_k)}}, \quad (5.6)$$



Slika 5.3: Prikaz naučenog filtra za podatke iz skupa MNIST.

gdje je K skup mogućih razreda. Na temelju takve distribucije, gubitak predstavlja negativna log izglednost točnog razreda, odnosno:

$$L_i = -\log\left(\frac{e^{(w_j^T x + b_j)}}{\sum_{k \in K} e^{(w_k^T x + b_k)}}\right). \quad (5.7)$$

Kako radimo sa mini grupama, kao konačan rezultat uzimamo sumu negativnih log izglednosti za svaki podatak iz minigrupe. Pa tako konačno za svaku težinu imamo:

$$J(\theta) = -\sum_i \log * p(y_i | x_i, \theta). \quad (5.8)$$

6. Rezultati

Kako bi mogli usporediti performanse dubokih konvolucijskih modela sa rezidualnim vezama sa jednostavnim modelima, za početak smo implementirali jednostavan konvolucijski model za klasifikaciju slika iz skupa CIFAR10 i model za klasifikaciju slika iz skupa MNIST. Plitkim modelom nad skupom CIFAR10 ostvarujemo točnost od 73.08%, dok nad skupom MNIST ostvarujemo rezultat od 98.22%. Utjecaj rezidualnih dubokih modela smo ispitivali nad skupom CIFAR10.

Konstruirali smo modele sa 20 konvolucijskih slojeva, odnosno parameterom $n=3$ i 14 konvolucijskih slojeva, odnosno parameterom $n=2$, kako je opisano u poglavlju 5.3. U okviru opisa rezultata običnim mrežama nazivamo duboke konvolucijske modele bez rezidualnih veza a rezidualnim modelima nazivamo duboke konvolucijske modele sa rezidualnim vezama.

Na rezidualnom modelu sa parameterom $n=2$, odnosno sa 14 konvolucijskih slojeva, ostvarujemo točnost od 87.36% na testnom skupu. Analognim dubokim modelom bez rezidualnih veza ostvarujemo točnost od 85.04%. U mreži sa 20 konvolucijskih slojeva ostvarujemo točnost 88.33% na testnom skupu sa rezidualnom arhitekturom. Sa običnom konvolucijskom mrežom iste dubine ostvarujemo točnost od 86.12%. Primjećujemo da pliće arhitekture brže konvergiraju ali na manju točnost. U dubljim arhitekturama bez rezidualnih veza uočavamo stagnaciju i degradaciju točnosti koja najvjerojatnije nije posljedica problema umirućih gradijenata - koristimo dosta BN slojeva koji uspješno otklanjaju problem i u unaprijednoj propagaciji značajki i u unazadnoj propagaciji pogrešaka. BN umanjuje problem jer sve značajke povlači na mali raspon oko 0, odnosno svi ulazni podaci će biti iz distribucije $N(0, 1)$, to jest gradijenti će biti dovoljno veliki da se težine mogu ponovno ažurirati.

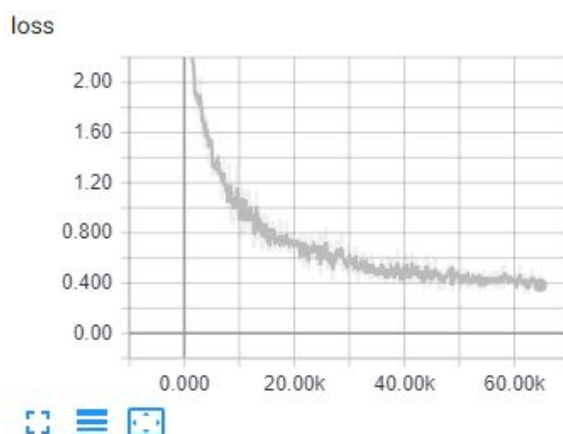
Detaljnije razmatramo ponašanje rezidualne arhitekture sa 20 slojeva. Primjećujemo da model stabilno konvergira prema konačnom gubitku 0.32, na evaluacijskom skupu postizemo najvišu točnost od oko 89.38%. Model smo naučili na način da smo pokrenuli učenje sa velikim brojem iteracija. Pratili smo točnost na validacijskom skupu i pamtili broj epoha koji je dao najbolji rezultat. Zatim smo spojili skup

Tablica 6.1: Prikaz postotaka pogreške na različitim modelima na testnom skupu CIFAR10

n	obični	rezidualni
2	14.96	12.64
3	13.88	11.67

za treniranje i validacijski skup i ponovno pokrenuli učenje sa brojem epoha koji je u prethodnom slučaju dao najvišu točnost.

Slika 6.1 prikazuje gubitak na trening skupu tijekom treniranja.



Slika 6.1: Gubitak na skupu za treniranje.

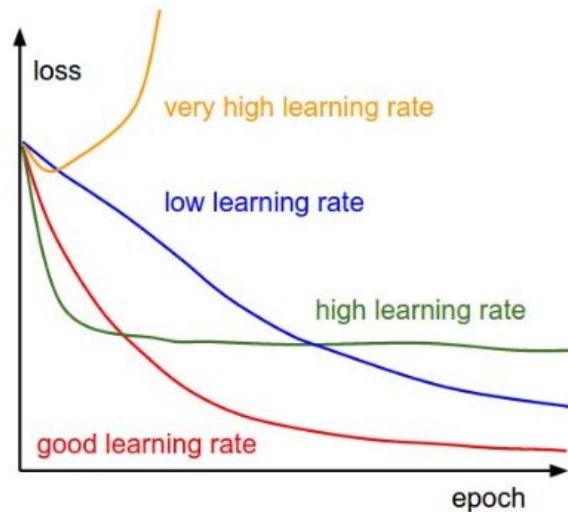
Prilikom učenja našeg modela smo koristili L^2 regularizaciju. Općenito, regularizaciju koristimo jer želimo limitirati kapacitet našeg modela. Naime, kako radimo sa dubokim modelima sa mnogo parametara, postoji velika opasnost da naši modeli nauče napamet klasificirati podatke iz trening skupa i da ne daju dobre rezultate na testnom skupu, odnosno da ne generaliziraju dobro. Regularizacija na neki način kažnjava model što smanjuje prenaučenosť. Općenito, regularizacija utječe na gubitak na sljedeći način:

$$\tilde{J}(\theta; X; y) = J(\theta; X; y) + \beta\Omega(\theta), \quad (6.1)$$

gdje je J gubitak prije regularizacije, \tilde{J} ukupni gubitak, β iznos parametra koji predstavlja doprinos regularizacije, Ω funkcija regularizacije. U slučaju L^2 regularizacije, na pogrešku dodajemo sumu L^2 gubitaka svih težina pomnoženu sa regularizacijskim faktorom.

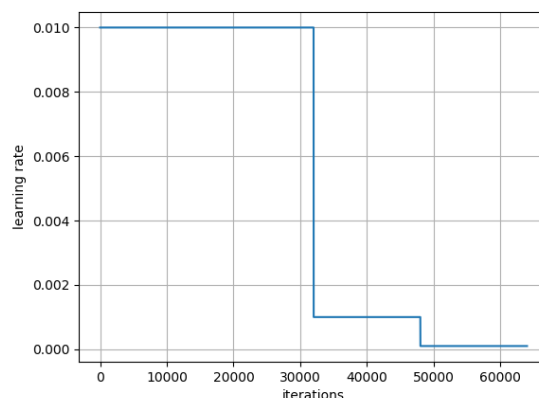
Bitan faktor u učenju modela predstavlja stopa učenja α . Prilikom ažuriranja težina ta stopa nam je bitna jer govori za koliko trebamo ažurirati težine u smjeru gradijenata.

U okviru našeg rada, predstavlja hiperparametar koji postavljamo na početku učenja. Ako stopu postavimo na premalu vrijednost, model će sporo konvergirati - trebat će mu mnogo epoha da nauči. Ako stopu postavimo na veliku vrijednost, naš model u nekom trenutku će prestati učiti jer se neće moći nastaviti približavati minimumu. Ako pretjeramo sa stopom učenja i postavimo je na preveliku vrijednost, model neće uopće učiti i gubitak će eksplodirati, što možemo vidjeti na 6.2.



Slika 6.2: Prikaz kako se gubitak ponaša ovisno o stopi učenja. Slika je preuzeta sa [13]

Stopu učenja smo dijelili sa 10 na 32000. i 48000. iteraciji kako bi pomogli modelu da brže konvergira kako je prikazano na 6.3. Takav način postavljanja stope učenja je dobar jer u početku relativno brzo dolazi blizu optimuma - kada dođe do stagnacije smanjimo stopu učenja i model ponovno konvergira prema optimumu.



Slika 6.3: Stopa učenja u rezidualnom modelu.

7. Zaključak

Usporedbom rezultata ostvarenih nad skupom CIFAR10 plitkim konvolucijskim modelom i dubokim konvolucijskim modelima, zaključujemo da gradnjom dubljih konvolucijskih modela uistinu postizemo bolje rezultate klasifikacije. Također, usporedbom običnih dubljih konvolucijskih modela i dubokih rezidualnih modela uočavamo probleme koji se pojavljuju pri konstrukciji običnih modela poput stagnacije točnosti na trening skupu i degradacije točnosti na ispitnom skupu. Modeli sa rezidualnim vezama uspješno rješavaju prepoznate probleme. Uz kombinaciju aktivacijske funkcije zglobnice i slojeva normalizacije grupe koji imaju regularizacijski efekt na model, rezidualna arhitektura ostvaruje znatno bolje rezultate u odnosu na obične konvolucijske mreže jednake dubine, kao i u odnosu na pliće konvolucijske mreže prikazane u uvodnom dijelu rezultata. Primjećujemo da razlika između obične mreže i rezidualne mreže sa 14 slojeva nije toliko istaknuta, rezidualne veze pokazuju svoju snagu na dubljim modelima. Smatramo da je cilj rada postignut - proučen je i argumentiran utjecaj rezidualnih veza na točnost dubokih modela. Uočeni su i obrazloženi problemi koji se pojavljuju u dubokim modelima, te su implementirani ili predloženi postupci kako takve probleme otkloniti. Rezultate koje smo ostvarili smo mogli poboljšati daljnjim poboljšavanjem hiperparametara i boljim tehnikama augmentacije podataka. Za razliku od slučajne inicijalizacije koju koristimo u okviru rada, u praksi se modeli obično predtreniraju na velikim skupovima poput Imagenet-a, čime se obično postižu bolji rezultati.

Daljnji nastavak ovog rada bi mogao teći u smjeru implementacije promjena u rezidualnoj arhitekturi prikazanoj u [11] u kojem je predložena nešto drugačija organizacija pojedinog rezidualnog bloka. Duboki konvolucijski modeli sa rezidualnim vezama predstavljaju današnji doseg u području računalnog vida, navedenim tehnikama se postižu nadljudski rezultati nad skupovima podataka koji su znatno veći problemi [6] od skupova korištenih u ovom radu. Tako na skupu Imagenet profesionalni ljudski označavač podataka ostvaruje top-5 pogrešku od 5.1%, dok najbolji model ostvaruje najbolju top-5 pogrešku od 3.57% [7] što je zaista impresivan rezultat i pokazatelj da

neke zadatke danas strojevi rješavaju dovoljno dobro da bi bili svakodnevno korišteni za rješavanje takvih problema. Osim problema računalnog vida, rezidualni modeli se pokazuju kao dobro rješenje i za probleme obrade prirodnog jezika.

LITERATURA

- [1] Student notes: Convolutional neural networks (cnn) introduction – belajar pembelajaran mesin indonesia. URL <https://indoml.com/2018/03/07/student-notes-convolutional-neural-networks-cnn-introduction/>.
- [2] Deep learning in a nutshell: Core concepts. URL <https://devblogs.nvidia.com/deep-learning-nutshell-core-concepts/>.
- [3] Rohan: The vanishing gradient problem – a year of artificial intelligence. URL <https://ayearofai.com/rohan-4-the-vanishing-gradient-problem-ec68f76ffb9b>.
- [4] Martín Abadi, Ashish Agarwal, Paul Barham, Eugene Brevdo, Zhifeng Chen, Craig Citro, Greg S. Corrado, Andy Davis, Jeffrey Dean, Matthieu Devin, Sanjay Ghemawat, Ian Goodfellow, Andrew Harp, Geoffrey Irving, Michael Isard, Yangqing Jia, Rafal Jozefowicz, Lukasz Kaiser, Manjunath Kudlur, Josh Levenberg, Dandelion Mané, Rajat Monga, Sherry Moore, Derek Murray, Chris Olah, Mike Schuster, Jonathon Shlens, Benoit Steiner, Ilya Sutskever, Kunal Talwar, Paul Tucker, Vincent Vanhoucke, Vijay Vasudevan, Fernanda Viégas, Oriol Vinyals, Pete Warden, Martin Wattenberg, Martin Wicke, Yuan Yu, i Xiaoqiang Zheng. TensorFlow: Large-scale machine learning on heterogeneous systems, 2015. URL <https://www.tensorflow.org/>. Software available from tensorflow.org.
- [5] Bojana Dalbelo Bašić, Marko Čupić, i Jan Šnajder. Umjetne neuronske mreže, predavanja iz kolegija umjetna inteligencija. URL [https://www.fer.unizg.hr/_download/repository/UI_12_UmjetneNeuronskeMreze\[1\].pdf](https://www.fer.unizg.hr/_download/repository/UI_12_UmjetneNeuronskeMreze[1].pdf).
- [6] J. Deng, W. Dong, R. Socher, L.-J. Li, K. Li, i L. Fei-Fei. ImageNet: A Large-Scale Hierarchical Image Database. U *CVPR09*, 2009.

- [7] Samuel F. Dodge i Lina J. Karam. A study and comparison of human and deep learning recognition performance under visual distortions. *CoRR*, abs/1705.02498, 2017. URL <http://arxiv.org/abs/1705.02498>.
- [8] Xavier Glorot, Antoine Bordes, i Yoshua Bengio. Deep sparse rectifier neural networks. U Geoffrey Gordon, David Dunson, i Miroslav Dudík, urednici, *Proceedings of the Fourteenth International Conference on Artificial Intelligence and Statistics*, svezak 15 od *Proceedings of Machine Learning Research*, stranice 315–323, Fort Lauderdale, FL, USA, 11–13 Apr 2011. PMLR. URL <http://proceedings.mlr.press/v15/glorot11a.html>.
- [9] Kaiming He, Xiangyu Zhang, Shaoqing Ren, i Jian Sun. Delving deep into rectifiers: Surpassing human-level performance on imagenet classification. *CoRR*, abs/1502.01852, 2015. URL <http://arxiv.org/abs/1502.01852>.
- [10] Kaiming He, Xiangyu Zhang, Shaoqing Ren, i Jian Sun. Deep residual learning for image recognition. *CoRR*, abs/1512.03385, 2015. URL <http://arxiv.org/abs/1512.03385>.
- [11] Kaiming He, Xiangyu Zhang, Shaoqing Ren, i Jian Sun. Identity mappings in deep residual networks. *CoRR*, abs/1603.05027, 2016. URL <http://arxiv.org/abs/1603.05027>.
- [12] Alex Krizhevsky, Vinod Nair, i Geoffrey Hinton. Cifar-10 (canadian institute for advanced research). URL <http://www.cs.toronto.edu/~kriz/cifar.html>.
- [13] Fei-Fei Li, Andrej Karpathy, i Justin Johnson. Cs231n: Convolutional neural networks for visual recognition 2016. URL <http://cs231n.stanford.edu/>.
- [14] Karen Simonyan i Andrew Zisserman. Very deep convolutional networks for large-scale image recognition. *CoRR*, abs/1409.1556, 2014. URL <http://arxiv.org/abs/1409.1556>.
- [15] Ilya Sutskever, James Martens, George Dahl, i Geoffrey Hinton. On the importance of initialization and momentum in deep learning. U *Proceedings of the 30th International Conference on International Conference on Machine Learning - Volume 28*, ICML'13, stranice III–1139–III–1147. JMLR.org, 2013. URL <http://dl.acm.org/citation.cfm?id=3042817.3043064>.

POPIS SLIKA

1.1. Niz hijerarhijskih značajki iz slike. Slika je preuzeta iz [2]	1
2.1. Prikaz kako funkcionira operator konvolucije. Slika je preuzeta sa [1]	4
2.2. Slika prikazuje kako se formira konačni izlaz konvolucijskog sloja. Slika je preuzeta sa [1]	4
3.1. Primjer podataka iz skupa MNIST. Redom predstavljaju znamenke 6 7 7.	8
3.2. Primjer jednog podatka kojeg dovodimo na ulaz mreže.	9
3.3. Primjer slika sadržanih u CIFAR10 skupu. Slika je preuzeta sa [12] .	9
4.1. Primjer Tensorflow grafa	10
5.1. Prikaz gradijenata sigmoidalne aktivacijske funkcije. Slika je preuzeta sa [3]	16
5.2. Prikaz ReLU aktivacijske funkcije.	17
5.3. Prikaz naučenog filtra za podatke iz skupa MNIST.	22
6.1. Gubitak na skupu za treniranje.	24
6.2. Prikaz kako se gubitak ponaša ovisno o stopi učenja. Slika je preuzeta sa [13]	25
6.3. Stopa učenja u rezidualnom modelu.	25

Klasifikacija slika dubokim konvolucijskim modelima s rezidualnim vezama

Sažetak

Klasifikacija slika prirodnih scena je neriješen problem računalnog vida s mnogim zanimljivim primjenama. U posljednje vrijeme najbolji rezultati u tom području postižu se pristupima utemeljenima na dubokim konvolucijskim modelima. Za ovaj rad posebno su zanimljivi nadzirani pristupi gdje je svaka slika skupa za učenje označena semantičkim razredima objekata koje slika sadrži. U okviru rada, bilo je potrebno proučiti dokumentacije programskih okvira Tensorflow i PyTorch te biblioteke programskog jezika Python za rukovanje matricama i slikama. Izrađena je izvedba programskog sustava za učenje i primjenu klasifikacijskog modela. Evaluiran je utjecaj rezidualnih veza na točnost modela. Detaljno su analizirane konvolucijske mreže u okviru dubokog učenja. Prikazani su i ocijenjeni ostvareni rezultati i predložene izmjene za poboljšanje rezultata.

Ključne riječi: strojno učenje, klasifikacija slika, duboki konvolucijski rezidualni modeli, neuronske mreže, CIFAR10, MNIST, PyTorch, Tensorflow

Image classification with deep convolutional models with residual connections

Abstract

Image classification of natural scenes is an unsolved problem of computer vision with many interesting applications. Recently, approaches with deep convolutional models achieve best results in that area. For this paper were specially interesting supervised approaches where every image from training set is labeled with semantic classes of objects which image contains. In this paper documentations of programming frameworks Tensorflow and PyTorch for matrix and image handling were studied. Implementation of programming system for learning and application of classification model has been implemented. Impact of residual connections on model accuracy has been evaluated. Convolutional networks were deeply analyzed in context of deep learning. Achieved results have been shown and evaluated and suggestions for classification accuracy improvement have been provided.

Keywords: machine learning, image classification, deep convolutional residual models, neural networks, CIFAR10, MNIST, PyTorch, Tensorflow